

Aula I: Por Quê Cordas?

A. Divergências

Qual é a energia dum elétron estacionário?

$$\begin{aligned} \text{Energia} &= m_E c^2 + \text{Energia do campo elétrico} \\ &= m_E c^2 + 4\pi \int_0^\infty dr r^2 \frac{|E|^2}{4\pi} \\ &= m_E c^2 + e^2 \int_0^\infty dr \frac{1}{r^2} = m_E c^2 - \frac{e^2}{r} \Big|_0^\infty = \infty \end{aligned}$$

(convenções: $c=1$)

Mas se pode medir a energia numa experiência!

Resolução: Eletrón tem um "raio efetivo", r_E

$$\text{Energia} = m_E c^2 - \frac{e^2}{r} \Big|_{r_E}^\infty = m_E c^2 + \frac{e^2}{r_E}$$

Fonte deste "raio" é a fenómena de "screening"

da vacua que cria dipolos.



"Renormalização da massa"

Mas também tem energia do campo gravitacional.

$$\begin{aligned} \text{Energia} &= m_E c^2 + \frac{e^2}{r_E} + + \int_0^\infty dr r^2 \left| \frac{m_E G}{r^2} \right|^2 \\ &= m_E c^2 + \frac{e^2}{r_E} - \frac{m_E G^2}{r} \Big|_0^\infty = \infty \end{aligned}$$

Não tem screening porque massa é sempre positiva
(gravitação sempre atrai).

⇒ Renormalização não funciona para gravitação

B. Explicação mais formal

Ação para eletromagnetismo com fonte de um elétron:

$$S = \int d^4x \left(F_{\mu\nu} F^{\mu\nu} + e A_\mu \bar{\Psi} \gamma^\mu \Psi + \bar{\Psi} (\not{D} - m_E^\circ) \Psi \right)$$

$$m_E^\circ = \frac{\partial}{\partial \bar{\Psi}} \frac{\partial}{\partial \Psi} S$$

$$F_{\mu\nu} = \partial_\mu A_\nu - \partial_\nu A_\mu$$

m_E° = massa nua

$$= \rightarrow + \rightarrow \text{loop} \rightarrow + \rightarrow \text{loop} \rightarrow + \dots$$

$$= m_E^\circ + e^2 \int_0^1 d^4 p \frac{k}{(p-k)^2 (p+k)^2} + e^4 \int_0^1 d^4 p \int_0^1 d^4 q \frac{k}{p^4 q^4} + \dots$$

\Rightarrow Divergência $\sim \log(L)$ para qualquer $L \rightarrow$ renormalizável

Ação para gravitação com fonte de um elétron:

$$S = \frac{1}{G} \int d^4x \sqrt{g} (R + \bar{\Psi} (\not{D} - m) \Psi)$$

$$\Psi \rightarrow \sqrt{G} \Psi$$

Para fazer teoria de perturbação, expande $g_{\mu\nu} = \eta_{\mu\nu} + \sqrt{G} h_{\mu\nu}$

$$S = \int d^4x \left[h_{\mu\nu} \left(\partial_\mu \partial_\nu \eta^{\mu\lambda} \partial_\lambda \eta^{\nu\rho} + \eta^{\mu\lambda} \partial_\mu \partial_\nu \eta^{\nu\rho} + \dots \right) h_{\rho\lambda} + \bar{\Psi} (\not{D} - m_E^\circ) \Psi \right. \\ \left. + \sqrt{G} \left(h_{\mu\nu} \partial^\mu h^{\mu\lambda} \partial^\nu h_{\lambda\rho} + \dots \right) + \sqrt{G} h_{\mu\nu} \bar{\Psi} \gamma^\mu \partial^\nu \Psi + \dots \right]$$

$$m_E^\circ = \rightarrow + \rightarrow \text{loop} \rightarrow + \rightarrow \text{loop} \rightarrow + \dots$$

$$= m_E^\circ + G \int_0^1 d^4 p \frac{k p^2}{p^4} + G^2 \int_0^1 d^4 p \int_0^1 d^4 q \frac{k p^4}{p^4 q^4} + \dots$$

$$= m_E^\circ + G \Lambda^2 a + G^2 \Lambda^4 b \Rightarrow \text{Divergência} \sim \Lambda^{2L}$$

\Rightarrow Não-renormalizável

C. Cordas

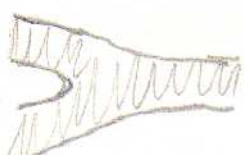
As divergências podem ser entendidas como singularidades quando duas partículas se aproximam ($\lambda \rightarrow \infty$).

Se partículas não são pontuais, este problema não existe. Mas, neste caso, normalmente tem problema de violação de causalidade (e.g. objetos rígidos).

Corda (objetos livres 1-dimensionais) evitam esta violação.



Partículas interagindo. Ponto de interação é singular.



Cordas interagindo. Não tem ponto de interação singular. Inv. Lorentz significa ausência de operador no ponto de interação.



→
Boost
de Lorentz



t_0



→



Diagrama
de Feynman

Superfície
com fronteiras

Se pode calcular amp. de espalhamento de cordas

Cada ressonância da corda é uma partícula
(foton, graviton, partículas massivas, ...)

D. Supercordas

Existe uma versão "supersimétrica" da corda cujas partículas incluem bosons e fermions. Esta "supercorda" descreve uma teoria finita de gravidade quântica (mais outras partículas?). As partículas não-massivas são de "supergravidade" em $D=10$. Existem "dualidades" nas amplitudes de espalhamento da supercorda que relacionam fraco e forte acoplamento.

Para comparar com experiências, temos que entender melhor como as 10 dimensões são "compactificadas" para $D=4$. Se pode testar isso com experiências de gravitação para distâncias pequenas

Aulas

Terceira: Partículas \rightarrow Cordas

Quarta: Amp. de Espalhamento de Cordas

Quinta: Partículas com spin \Rightarrow Supercordas

Sexta: Propriedades de supercordas

Aula 2: Partícula → Corda

A. Partícula

Para entender como as resonâncias da corda descrevem partículas diferentes, é útil revisar a quantização de uma partícula relativística de massa M

$$\mathcal{S} = M\mathcal{E} = M \int d\tau \sqrt{\frac{\partial x^m}{\partial \tau} \frac{\partial x_m}{\partial \tau}}$$



$$\text{Eq. de mov: } \frac{\partial}{\partial \tau} \left(\frac{\partial L}{\partial (\frac{\partial x^m}{\partial \tau})} \right) = \frac{\partial L}{\partial x^m} \Rightarrow \frac{\partial}{\partial \tau} \left(\frac{M \frac{\partial x^m}{\partial \tau}}{\sqrt{\frac{\partial x^m}{\partial \tau} \frac{\partial x_m}{\partial \tau}}} \right) = 0.$$

Acabou tem inv. de reparametrização de $\tau \rightarrow \tau'(\tau)$ porque

$$\int d\tau' \sqrt{\frac{\partial x^m}{\partial \tau'} \frac{\partial x_m}{\partial \tau'}} = \int d\tau \left(\frac{dx'}{d\tau} \right) \sqrt{\frac{\partial x^m}{\partial \tau} \left(\frac{\partial \tau}{\partial \tau'} \right) \cdot \frac{\partial x_m}{\partial \tau} \frac{\partial \tau}{\partial \tau'}} = \int d\tau \sqrt{\frac{\partial x^m}{\partial \tau} \frac{\partial x_m}{\partial \tau}}$$

→ Se pode definir τ duma maneira que $\frac{dx^m}{d\tau} \frac{dx_m}{d\tau} = 1$.

Neste gauge, a eq. de mov. simplifica a $M \frac{\partial^2 x^m}{\partial \tau^2} = 0$.

Para quantizar, define $P_\mu = \frac{\partial L}{\partial (\frac{\partial x^m}{\partial \tau})} = \frac{M}{\sqrt{\frac{\partial x^m}{\partial \tau} \frac{\partial x_m}{\partial \tau}}} \frac{\partial}{\partial \tau} x^m = M \frac{\partial}{\partial \tau} x^m$.

Todos os componentes de P_μ não são independentes

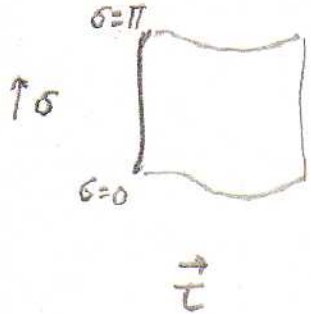
$$\text{porque } P_\mu P^\mu = M^2 \frac{\partial x^m}{\partial \tau} \frac{\partial x_m}{\partial \tau} = M^2$$

→ Função de onda $\Psi(x)$ tem que satisfazer o vínculo $0 = (P_\mu P^\mu - M^2) \Psi(x) = \left(-\frac{\partial}{\partial x^m} \frac{\partial}{\partial x_m} - M^2 \right) \Psi(x)$

$$\rightarrow \Psi(x) = \int d^3 k_j e^{i(k_0 x^0 + k_j x_j)} f(k_j)$$

$$\text{onde } k_0^2 = M^2 + k_j^2.$$

B. Corda Aberta



$x^m(\tau, \sigma)$ onde σ parametrize a corda

Livre $\Rightarrow \frac{\partial x^m}{\partial \sigma} = 0$ quando $\sigma = 0$ ou $\sigma = \pi$.

$$\mathcal{S} = T \overrightarrow{A} = T \int d\tau d\sigma \sqrt{\left(\frac{\partial x}{\partial \tau} \cdot \frac{\partial x}{\partial \tau} \right) \left(\frac{\partial x}{\partial \sigma} \cdot \frac{\partial x}{\partial \sigma} \right) - \left(\frac{\partial x}{\partial \tau} \cdot \frac{\partial x}{\partial \sigma} \right)^2}$$

↑
tensão ↑
área

$$\begin{array}{c} \text{Diagram of a parallelogram with angle } \theta \\ \frac{dx}{d\sigma} \quad \frac{dx}{d\tau} \\ \Rightarrow A = \left| \frac{dx}{d\sigma} \right| \left| \frac{dx}{d\tau} \right| \sin \theta \\ = \left| \frac{dx}{d\sigma} \right| \left| \frac{dx}{d\tau} \right| \sqrt{1 - \cos^2 \theta} \end{array}$$

Mas $\left| \frac{dx}{d\sigma} \right| \left| \frac{dx}{d\tau} \right| \cos \theta = \frac{dx}{d\sigma} \cdot \frac{dx}{d\tau} \Rightarrow \mathcal{S}$

Eq. de mov: $\frac{\partial}{\partial \tau} \left(\frac{\partial L}{\partial \dot{x}^m} \right) + \frac{\partial}{\partial \sigma} \left(\frac{\partial L}{\partial \dot{x}_m^{\sigma}} \right) = \frac{\partial L}{\partial x^m}$

$$\Rightarrow 0 = \frac{\partial}{\partial \tau} \left(\underbrace{\frac{\partial x}{\partial \tau} \left(\frac{\partial x}{\partial \sigma} \cdot \frac{\partial x}{\partial \sigma} \right)}_{\sqrt{\dots}} - \frac{\partial x}{\partial \sigma} \left(\frac{\partial x}{\partial \tau} \cdot \frac{\partial x}{\partial \sigma} \right) \right) + \frac{\partial}{\partial \sigma} \left(\underbrace{\frac{\partial x}{\partial \sigma} \left(\frac{\partial x}{\partial \tau} \cdot \frac{\partial x}{\partial \tau} \right)}_{\sqrt{\dots}} - \frac{\partial x}{\partial \tau} \left(\frac{\partial x}{\partial \sigma} \cdot \frac{\partial x}{\partial \tau} \right) \right).$$

Acão tem inv. de reparametrização de $(\tau, \sigma) \rightarrow (\tau', \sigma')$

\Rightarrow Se pode definir (τ, σ) dumha maneira que

$$\frac{dx^m}{d\tau} \frac{dx_m}{d\tau} = - \frac{dx^m}{d\sigma} \frac{dx_m}{d\sigma} \quad \text{e} \quad \frac{dx^m}{d\tau} \frac{dx_m}{d\sigma} = 0.$$

Neste gauge, a eq. de mov. é $\frac{d^2 x^m}{d\tau^2} - \frac{d^2 x^m}{d\sigma^2} = 0$

$$\Rightarrow x^m(\tau, \sigma) = f^m(\tau + \sigma) + \bar{f}^m(\tau - \sigma)$$

Para objetos extendidos de mais que uma dimensão

(e.g. membranas

, as eqs. de mov. são muito mais complicadas.

Para quantizar, define $P_n = \frac{\partial L}{\partial(\frac{\partial x^n}{\partial \xi})} = T \frac{\partial x^n}{\partial \xi}$

$\Rightarrow P_n$ satisfaz $P_n P^m = -T^2 \frac{\partial x^n}{\partial \xi} \frac{\partial x^m}{\partial \xi}$ e $P_n \frac{\partial x^n}{\partial \xi} = 0$

\Rightarrow Função da onda $\Psi^n(x)$ tem que satisfazer

$$\text{os vinculos } (P_n P^m + T^2 \frac{\partial x^n}{\partial \xi} \frac{\partial x^m}{\partial \xi}) \Psi = P_n \frac{\partial x^n}{\partial \xi} \Psi = 0$$

Note que $M^2 = P_n P^m = T^2 \frac{\partial x^n}{\partial \xi} \frac{\partial x^m}{\partial \xi}$ depende da maneira que a corda está vibrando.

Classicamente, a corda pode ter qualquer massa. Mas depois de quantização, o espectro de massas vai ser discreto,

c. Quantização

$$\left(\frac{\partial^2}{\partial \xi^2} - \frac{\partial^2}{\partial \bar{\xi}^2} \right) x^n = 0, \quad \frac{\partial}{\partial \xi} x^n = 0 \text{ quando } \xi=0, \quad \frac{\partial}{\partial \bar{\xi}} x^n = 0 \text{ quando } \bar{\xi}=\pi.$$

$$\Rightarrow x^n(z, \bar{z}) = x_0^n + \frac{P_0^n}{T} \xi + \sum_{n=1}^{\infty} [a_n^n (e^{inx} + e^{-inx}) + a_{-n}^n (e^{inx} + e^{-inx})]$$

$$[P_n(\sigma), x^\nu(\sigma')] = i \delta_\mu^\nu \delta(\sigma - \sigma') \Rightarrow [P_0^n, x_0^\nu] = i \gamma^{n\nu}$$

$$[a_n^m, a_m^{+\nu}] = i \delta_{m+n} \gamma^{n\nu} \cdot \frac{n}{T}$$

Função de onda $\Psi(x_0^n, a_{+1}^n, a_{+2}^n, \dots)$

$$= \left(\prod_{m=0}^{D-1} \prod_{n=1}^{\infty} (a_{+n}^m)^{\alpha_n^m} \right) \Psi(x_0^n)$$

Para determinar o espectro, analize

$$(P_m P^m + T^2 \frac{\partial x^m}{\partial \sigma} \frac{\partial x_m}{\partial \sigma}) \Psi = 0$$

$$\Rightarrow \left(-T^2 \sum_{n=1}^{\infty} (\hat{a}_n^m \hat{a}_{-n,m} + \hat{a}_{-n}^m \hat{a}_{n,m}) + P_0^m P_{0m} \right) \Psi = 0$$

$$\Rightarrow \left(-T^2 \sum_{n=1}^{\infty} \left(\hat{a}_n^m \left(\frac{n}{T} \frac{\partial}{\partial \hat{a}_n^m} \right) + \left(\frac{n}{T} \frac{\partial}{\partial \hat{a}_n^m} \right) \hat{a}_{n,m} \right) + P_0^m P_{0m} \right) \Psi = 0$$

$$\Rightarrow -T \left(-\sum_{n=1}^{\infty} \left(2n T \hat{a}_n^m \frac{\partial}{\partial \hat{a}_n^m} - (D-2)n T + P_0^m P_{0m} \right) \right) \Psi = 0$$

$$\Rightarrow M^2 = P_0^m P_{0m} = T \left(\sum_{n=1}^{\infty} \sum_{m=0}^{D-1} 2n \hat{a}_n^m + (D-2) \sum_{n=1}^{\infty} n \right)$$

-2 vem
de fantasma
de fixação
de gauge

$$\sum_{n=1}^{\infty} n = \lim_{s \rightarrow -1} \sum_{n=1}^{\infty} \frac{1}{n^s} = -\frac{1}{12}$$

$$\Rightarrow M^2 = T \sum_{n=1}^{\infty} \sum_{m=0}^{D-1} 2n \hat{a}_n^m - \frac{D-2}{12} T$$

Especro: $M^2 = -\frac{D-2}{12} T \quad |0\rangle \quad \text{escalar}$

$$M^2 = \left(2 - \frac{D-2}{12} \right) T \quad \hat{a}_i^m |0\rangle \quad \text{vetor}$$

$$M^2 = \left(4 - \frac{D-2}{12} \right) T \quad \hat{a}_i^m \hat{a}_j^m |0\rangle \quad \text{tensor}$$

Para a teoria ser consistente, o vetor

tem que ter $M=0$ (como o fóton) $\Rightarrow D=26$.

\Rightarrow Espectro tem taguion (i.e. $M^2 < 0$) \Rightarrow vazio é instável.
(Resolvido usando supercordas)

O problema de $D=26$ pode ser resolvido
introduzindo a corda fechada.

D. Corda Fechada



$$x^m(z, \sigma) \text{ onde } 0 \leq \sigma < 2\pi$$

\vec{z}

Corda aberta pode fechar $I \rightarrow G \rightarrow O$

$$\delta = Ta \Rightarrow \frac{d^2 x^m}{dz^2} - \frac{d^2 x^m}{d\sigma^2} = 0$$

$$\Rightarrow x^m = x_0^m + \frac{P_0^m}{T} z + \sum_{n=1}^{\infty} \left[a_n^m e^{in(z+\sigma)} + \tilde{a}_n^m e^{in(z-\sigma)} + a_{-n}^m e^{-in(z+\sigma)} + \tilde{a}_{-n}^m e^{-in(z-\sigma)} \right]$$

$$\text{Espectro: } M^2 = T \sum_{n=1}^{\infty} \sum_{m=0}^{D-1} 2n(a_n^m + \tilde{a}_n^m) - \frac{D-2}{6} T$$

$$\text{onde } \Psi = \left(\prod_{m=0}^{D-1} \prod_{n=1}^{\infty} (a_n^m)^{a_n^m} (\tilde{a}_n^m)^{\tilde{a}_n^m} \right) \Psi_0(x_0^m)$$

$$\Rightarrow M^2 = -\frac{D-2}{6} T \quad |0\rangle \quad \text{escalar}$$

$$M^2 = \left(4 - \frac{D-2}{6} \right) T \quad a_i^m \tilde{a}_i^m |0\rangle \quad \text{tensor}$$

$D=26 \Rightarrow$ tensor tem $M=0$. Decompõe em parte simétrica sem traco, anti-simétrica, e traco:

$$T_{\mu\nu} = g_{\mu\nu} + b_{\mu\nu} + \Phi g_{\mu\nu}, \quad g_{\mu\nu} \text{ é o gráviton}$$

$\Rightarrow D=26$ pode ser compactificada (dinamicamente) para $D=4$.

Aula 3: Interacões

Até agora, descrevemos ações para partículas e cordas livres (sem interações).

Têm duas maneiras de descrever interações:

A. Partícula num background gravitacional e eletromag:

$$\mathcal{S} = \frac{M}{2} \int dz \frac{\partial}{\partial z} x^m \frac{\partial}{\partial z} x_m \text{ da a mesma eq. de mov}$$

como $\mathcal{S} = M \int dz \sqrt{\frac{\partial}{\partial z} x^m \frac{\partial}{\partial z} x_m}$, Mais fácil incluir interações:

$$\mathcal{S} = \int dz \left[\frac{M}{2} g_{\mu\nu}(x) \frac{\partial}{\partial z} x^\mu \frac{\partial}{\partial z} x^\nu + e A_\mu(x) \frac{\partial}{\partial z} x^\mu \right]$$

$$\text{Eq. de mov: } \frac{\partial}{\partial z} \left(M g_{\mu\nu} \frac{\partial}{\partial z} x^\nu + e A_\mu \right) = \frac{M}{2} (\partial_\mu g_{\rho\sigma}) \frac{\partial}{\partial z} x^\rho \frac{\partial}{\partial z} x^\sigma + e \partial_\mu A_\nu \frac{\partial}{\partial z} x^\nu$$

$$\Rightarrow M g_{\mu\nu} \frac{\partial^2}{\partial z^2} x^\nu + M \partial_\rho g_{\mu\nu} \frac{\partial}{\partial z} x^\rho \frac{\partial}{\partial z} x^\nu + e \partial_\rho A_\mu \frac{\partial}{\partial z} x^\rho$$

$$= \frac{M}{2} (\partial_\mu g_{\rho\sigma}) \frac{\partial}{\partial z} x^\rho \frac{\partial}{\partial z} x^\sigma + e \partial_\mu A_\nu \frac{\partial}{\partial z} x^\nu$$

$$\Rightarrow M g_{\mu\nu} \left(\frac{\partial^2}{\partial z^2} x^\nu + \Gamma_{\rho\sigma}^\nu \frac{\partial}{\partial z} x^\rho \frac{\partial}{\partial z} x^\sigma \right) = e F_{\mu\nu} \frac{\partial}{\partial z} x^\nu$$

= eq. de mov. para partícula de massa M e carga e .

B. Partícula com Partícula (primeira quantizada)

$$\mathcal{S} = \frac{M}{2} \int dz \frac{\partial}{\partial z} x^m \frac{\partial}{\partial z} x_m + \lambda \mathcal{S}_{\text{INTERAÇÃO}}$$



Vértices depende do tipo de interação (e.g. φ^3, φ^4 , etc.)

λ é o constante de acoplamento

B. Corda fechada num background

$$\mathcal{S} = T \int d\tau ds \left(\frac{\partial}{\partial \tau} + \frac{\partial}{\partial s} \right) X^m \left(\frac{\partial}{\partial x} - \frac{\partial}{\partial \sigma} \right) X_m \text{ de mesma eq. de mov. como } \mathcal{S} = T \int dz d\bar{z} \sqrt{-g}$$

Faça "rotação de Wick" $\tau \rightarrow i\tau$ e

chame $z = \tau + i\sigma$, $\bar{z} = \tau - i\sigma$:

$$\mathcal{S} = T \int dz d\bar{z} \partial X^m \bar{\partial} X_m \text{ onde } \partial = \frac{\partial}{\partial z} - i \frac{\partial}{\partial \sigma} \\ \bar{\partial} = \frac{\partial}{\partial \bar{z}} + i \frac{\partial}{\partial \sigma}$$

e vínculos

Esta ação tem inv. conforme sobre a transf. analítica $z \rightarrow z'(z)$, $\bar{z} \rightarrow \bar{z}'(\bar{z})$ porque

$$\mathcal{S}' = T \int dz' d\bar{z}' \partial' X^m \bar{\partial}' X_m = T \int dz \left(\frac{dz'}{dz} \right) \bar{d}\bar{z} \left(\frac{d\bar{z}'}{d\bar{z}} \right) \left(\frac{\partial z}{\partial z'} \right) \partial X^m \left(\frac{\partial \bar{z}}{\partial \bar{z}'} \right) \bar{\partial} X_m = \mathcal{S}$$

Acopla com background:

$$\mathcal{S} = T \int dz d\bar{z} \left[g_{\mu\nu}(x) \partial X^{\mu} \bar{\partial} X^{\nu} + b_{\mu\nu}(x) \partial X^{\mu} \bar{\partial} X^{\nu} \right] \\ + \int dz d\bar{z} \varphi(x) K$$

onde K é a curvatura da folha-mundo.

$g_{\mu\nu}$, $b_{\mu\nu}$, φ são os estados não-massivos da corda que criam um background. Clássicamente, a ação tem inv. conforme, mas quânticamente somente tem inv. conforme se $(g_{\mu\nu}, b_{\mu\nu}, \varphi)$ satisfazem as equações

$$R_{\mu\nu} - T_{\mu\nu} + \dots = 0, \nabla^{\mu} H_{\mu\nu\rho} + \dots = 0, \nabla^{\mu} \nabla_{\mu} \varphi + \dots = 0$$

onde $R_{\mu\nu}$ é tensor de Ricci, $T_{\mu\nu}$ é stress-tensor, $H_{\mu\nu\rho} = \partial_{\mu} b_{\nu\rho}$ e ... vem de correções de ordem T^2 (que vêm dos estados massivos da corda).

C. Corda com Corda

Estas equações vêm de relativ. geral + matéria + correções.

O background vem dos estados de corda

\Rightarrow pode ver calculando espalhamento corda-corda

$$\delta = T \int dz d\bar{z} \partial X^m \bar{\partial} X_m + \text{interações}$$

$$= T \int_S dz d\bar{z} \partial X^m \bar{\partial} X_m + (\log \lambda) (2g-2+N)$$

onde $g = \text{genus}$ ($= \# \text{de buracos}$)
 $N = \text{número de furos}$

$$\int_S dz d\bar{z} \Gamma = 2g-2+N \Rightarrow \langle \varphi \rangle = \log \lambda, \text{ i.e.}$$

o valor de espera do campo $e^\varphi = \text{"dilatão"}$

é a constante de acoplamento λ .

$$\lambda + \lambda^3 + \lambda^5$$

Tem que calcular funções de correlação

numa superfície 2-dimensional usando $\delta = T \int dz d\bar{z} \partial X^m \bar{\partial} X_m$.

$g=0$: Faça uma transf. conformal para o plano complexo

$$\begin{array}{ccc} \text{Diagrama de } g=0 & \xrightarrow{\text{z}'(z)} & \begin{bmatrix} z_1^0 & z_3^0 \\ & z_2^0 \end{bmatrix} \quad z' = -2 \log(z-z_1) + \log(z-z_2) \\ & & & & + \log(z-z_3) \end{array}$$

No plano complexo, função de Green para $T \partial \bar{\partial} G = \delta^2(y-z)$

$$\text{é } G(y, z) = \frac{1}{T} \log |y-z|.$$

Cada estado da corda é representado por um "operador de vértice", e.g.

táquion: $V = e^{ik^{\mu}x_{\mu}}$ onde $k^{\mu}k_{\mu} = -4T$

vetor: $V = z^{\mu} \partial X_{\mu} e^{ik^{\mu}x_{\mu}}$ onde z^{μ} é a polarização
(corda aberta) e $k^{\mu}k_{\mu} = 0$

graviton: $V = g^{\mu\nu} \partial X_{\mu} \bar{\partial} X_{\nu} e^{ik^{\mu}x_{\mu}}$ onde $g^{\mu\nu}$ é a polarização.

Amplitude de espalhamento para N cordas é dado por

$$A = \sum_{g=0}^{\infty} \int dS_{g,N} \langle V_1(z_1) \dots V_N(z_N) \rangle$$

$$\text{onde } \langle V_1(z_1) \dots V_N(z_N) \rangle = \int DX e^{\delta(x)} V_1(z_1) \dots V_N(z_N).$$

Por exemplo, N táquions com $g=0$ tem amp.
de espalhamento $A = \int dz_1 \dots \int dz_N \prod_{r,s} \frac{1}{|z_r - z_s|} \prod_{r,s} k_r^{\mu} k_{s\mu}$.

Se pode usar estas fórmulas para calcular amp.
de espalhamento de grávitons. Por causa dos problemas
de táquion (e dilaton), as amplitudes têm divergências
→ precisa estudar a supercorda



tem que reproduzir

Aula 4: Supersimetria

Tem dois tipos de supersimetria:

- 1) SUSY da linha-mundo ou folha-mundo
(partícula com spin; supercorda)
 - 2) SUSY do espaço-tempo (super-Yang-Mills, supergravidade, supercorda)

A. Partícula com spin $\frac{1}{2}$

Como descrever a ação para um elétron (spin $\frac{1}{2}$)?

Variáveis são X^{μ} e W^{μ} onde, na referencial de descanso, $W^0 = 0$ e W^j = direção do spin. \vec{S}_X .
 W^i = "vetor de Pauli-Lubanski".

$$\text{Acum: } \mathcal{D} = \sum_m \int dz \left(\frac{\partial x^m}{\partial z} \frac{\partial x_m}{\partial z} + i \psi^m \frac{\partial}{\partial z} \psi_m \right) \text{ onde}$$

$\Psi^u(c)$ é grassmanniana (i.e. anti-comutante)

$$e \quad M^{uv} = \frac{1}{2} M \left(x^u \frac{\partial}{\partial x} x^v - x^v \frac{\partial}{\partial x} x^u + 2i \psi^u \psi^v \right), \text{ i.e. } S^{uv} = \bar{\psi} \psi^v.$$

$$\text{Quantizações: } [x^{\mu}, \frac{\partial}{\partial x^{\nu}}] = i\hbar g^{\mu\nu}, \quad \{\psi^{\mu}, \psi^{\nu}\} = i\hbar \eta^{\mu\nu}$$

$$W^{\mu} W_{\mu} = \frac{1}{2} S^{ij} S_{ij} = \frac{m^2}{2} (\Psi^i \bar{\Psi}^j)(\bar{\Psi}_i \Psi_j) = \frac{m^2}{2} (\Psi^i \bar{\Psi}_n)(\bar{\Psi}^k \Psi_j) = -\frac{3k}{4}$$

$$\text{Eq. de mov: } \frac{\partial^2}{\partial z^2} X^m = \frac{\partial}{\partial z} \Psi^m = 0 \quad \Rightarrow \text{Spin } \frac{1}{2}$$

Ação inv. sobre $x^\mu \rightarrow x^\mu + i\varepsilon \Psi^\mu$ "Supersimétrica"

$$\text{Ex: } \Psi^{\mu} \rightarrow \Psi^{\mu} + \epsilon \sum_i \frac{\partial X^{\mu}}{\partial x^i} \quad \text{da linha-mundo}$$

Note que $\{\tilde{q}, q\} = -2i \frac{\partial}{\partial \tau}$ (i.e. $[\epsilon_1 q, \epsilon_2 q] = -2i \epsilon_1 \epsilon_2 \frac{\partial}{\partial \tau}$).

$$x^u \rightarrow x^u + i\epsilon_1 (\Psi^u - \epsilon_2 \frac{\partial x^u}{\partial \tau}) + i\epsilon_2 \Psi^u - \epsilon_2 (\Psi^u - \epsilon_1 \frac{\partial x^u}{\partial \tau}) - i\epsilon_1 \Psi^u$$

$$= x^u - 2i \epsilon_1 \epsilon_2 \frac{\partial x^u}{\partial \tau}$$

$$\Psi^u \rightarrow \Psi^u - \epsilon_1 \left(\frac{\partial (x^u + i\epsilon_2 \Psi^u)}{\partial \tau} \right) - \epsilon_2 \frac{\partial x^u}{\partial \tau} + \epsilon_2 \left(\frac{\partial (x^u + i\epsilon_1 \Psi^u)}{\partial \tau} \right)$$

$$= \Psi^u - 2i \epsilon_1 \epsilon_2 \frac{\partial \Psi^u}{\partial \tau} + \epsilon_1 \frac{\partial x^u}{\partial \tau}$$

Se pode fazer manifesta a SUSY na ação introduzindo um parâmetro grassmanniano K para acompanhar τ :

$$\begin{aligned} S &= \frac{M}{2} \int d\tau \int dk \left(i \frac{\partial}{\partial \tau} X^u \right) D_K X_u \\ &= \frac{M}{2} \int d\tau \int dk \left\{ i \frac{\partial}{\partial \tau} (x^u + iK \Psi^u) \left(\frac{\partial}{\partial k} - iK \frac{\partial}{\partial \tau} \right) (X_u + iK \Psi_u) \right\} \\ &= \frac{M}{2} \int d\tau \int dk \left[\left(i \frac{\partial x^u}{\partial \tau} - K \frac{\partial \Psi^u}{\partial \tau} \right) (i\Psi_u - iK \frac{\partial}{\partial \tau} X_u) \right] \\ &= \frac{M}{2} \int d\tau \int dk \left(-\Psi_u \frac{\partial x^u}{\partial \tau} + K \left[\frac{\partial x^u}{\partial \tau} \frac{\partial X_u}{\partial \tau} + i\Psi_u \frac{\partial \Psi^u}{\partial \tau} \right] \right) \\ &= \frac{M}{2} \int d\tau \left(\frac{\partial x^u}{\partial \tau} \frac{\partial X_u}{\partial \tau} + i\Psi^u \frac{\partial \Psi^u}{\partial \tau} \right). \end{aligned}$$

É fácil generalizar para partícula com spin $\frac{1}{2}$ propagando em campos externos, e.g.

$$\begin{aligned} S &= \frac{iM}{2} \int d\tau \int dk \left\{ g_{\mu\nu}(X) \frac{\partial}{\partial \tau} X^u D_K X^v + b_{\mu\nu}(X) \frac{\partial}{\partial \tau} X^u D_K X^v \right. \\ &\quad \left. + A_\mu(X) D_K X^u \right\} \text{ descreve campos gravitacionais,} \\ &\quad \text{campos de torsão (onde } T_{\mu\nu\rho} = \partial_\mu b_{\nu\rho} \text{) e eletromagnéticos.} \end{aligned}$$

Estados sem massa: $A_\mu^I(x)$, $\chi^\alpha(x)$ $I=1 \text{ a } \dim G$

$$S = \int d^4x \text{Tr} [F_{\mu\nu} F^{\mu\nu} + \bar{\chi} \not{D} \chi]$$

"Super-Yang-Mills"

$$\not{D} = \gamma^\mu_{\alpha\beta} (\partial_\mu + A_\mu)$$

$$F_{\mu\nu} = \partial_\mu A_\nu^I - \partial_\nu A_\mu^I + f_{JK}^I A_\mu^J A_\nu^K$$

$$\not{D}\chi = \gamma^\mu_{\alpha\beta} (\partial_\mu \chi^\alpha + f_{JK}^I A_\mu^J \chi^K)$$

Ação inv. sobre

$$A_\mu^I \rightarrow A_\mu^I + \bar{\epsilon} \gamma_\mu \chi^\alpha$$

$$\chi^\alpha \rightarrow \chi^\alpha + F_{\mu\nu}^I (\gamma^\mu \epsilon)^\alpha$$

2. Supercorda fechada

$$O \quad X^\mu(\tau, \sigma) = X^\mu(\tau, \sigma + 2\pi)$$

$$\Psi^\mu(\tau, \sigma + 2\pi) = \pm \Psi^\mu(\tau, \sigma)$$

$$\bar{\Psi}^\mu(\tau, \sigma) = \pm \bar{\Psi}^\mu(\tau, \sigma + 2\pi) \quad \text{Estados sem massa}$$

$$R-R; \quad \Psi^\mu = \sum_{n \neq 0} e^{in(\tau+\sigma)} d_n + d_0$$

$$\bar{\Psi}^\mu = \sum_{n \neq 0} e^{-in(\tau-\sigma)} \bar{d}_n + \bar{d}_0$$

$$\begin{array}{c|c} A_{\alpha\beta} & A_\alpha^\beta \\ \hline \hline & \end{array}$$

$$R-NS$$

$$+ -$$

$$NS-R$$

$$- +$$

$$\begin{array}{c|c} X_\alpha & X_\alpha \\ \hline \hline & \end{array}$$

$$\begin{matrix} g_{\mu\nu} \\ b_{\mu\nu} \\ \varphi \end{matrix}$$

$$\begin{matrix} g_{\mu\nu} \\ b_{\mu\nu} \\ \varphi \end{matrix}$$

Supergavidade

II B sugra

II A sugra

B. Generalizações para a supercorda

$$\mathcal{S} = T \int dz d\bar{z} (\partial X^{\mu} \bar{\partial} X_{\mu} + i \Psi^{\mu} \bar{\partial} \Psi_{\mu} + i \bar{\Psi}^{\mu} \partial \bar{\Psi}_{\mu} + F^{\mu} \cancel{F}_{\mu})$$

$$\Rightarrow \text{eq. de mov: } \partial \bar{\partial} X^{\mu} = \bar{\partial} \Psi^{\mu} = \partial \bar{\Psi}^{\mu} = F^{\mu} \cancel{F}_{\mu} = 0$$

F^{μ} não propaga mas é necessário para SUSY manifesta

$$\mathcal{S} = T \int dz d\bar{z} \int dk d\bar{k} D X^{\mu} \bar{D} X_{\mu}$$

$$= T \int dz d\bar{z} \int dk d\bar{k} \left[\left(\frac{\partial}{\partial k} - i k \frac{\partial}{\partial z} \right) (X^{\mu} + i k \Psi^{\mu} + i \bar{k} \bar{\Psi}^{\mu} + k \bar{k} F^{\mu}) \right. \\ \left. \left(\frac{\partial}{\partial \bar{k}} - i \bar{k} \frac{\partial}{\partial \bar{z}} \right) (X^{\mu} + i k \Psi^{\mu} + i \bar{k} \bar{\Psi}^{\mu} + k \bar{k} F^{\mu}) \right]$$

$$= T \int dz d\bar{z} \int dk d\bar{k} (k \bar{k} (\partial X^{\mu} \bar{\partial} X_{\mu} + i \Psi^{\mu} \bar{\partial} \Psi_{\mu} + i \bar{\Psi}^{\mu} \partial \bar{\Psi}_{\mu} + F^{\mu} \bar{F}_{\mu}) + \dots)$$

$$\mathcal{S} \text{ inv. sobre } X^{\mu} \rightarrow X^{\mu} + i \epsilon \Psi^{\mu} + i \bar{\epsilon} \bar{\Psi}^{\mu} + \epsilon \bar{\epsilon} F^{\mu}$$

$$\Psi^{\mu} \rightarrow \Psi^{\mu} - \epsilon \frac{\partial X^{\mu}}{\partial z} - i \bar{\epsilon} F^{\mu}$$

$$\bar{\Psi}^{\mu} \rightarrow \bar{\Psi}^{\mu} - \bar{\epsilon} \frac{\partial X^{\mu}}{\partial \bar{z}} + i \epsilon F^{\mu}$$

$$F^{\mu} \rightarrow F^{\mu} + \bar{\epsilon} \frac{\partial \Psi^{\mu}}{\partial \bar{z}} - \epsilon \frac{\partial \bar{\Psi}^{\mu}}{\partial z}$$

$$[\epsilon_1 q + \bar{\epsilon}_1 \bar{q}, \epsilon_2 q + \bar{\epsilon}_2 \bar{q}] = \epsilon_1 \epsilon_2 \frac{\partial}{\partial z} + \epsilon_2 \bar{\epsilon}_2 \frac{\partial}{\partial \bar{z}}$$

$$\Rightarrow \{q, q\} = \frac{\partial}{\partial z} \quad \text{e} \quad \{\bar{q}, \bar{q}\} = \frac{\partial}{\partial \bar{z}}$$

Para acoplar com $g_{\mu\nu}, b_{\mu\nu}, \Psi$

$$\mathcal{S} = T \int dz d\bar{z} dk d\bar{k} (g_{\mu\nu}(X) D X^{\mu} \bar{D} X^{\nu} + b_{\mu\nu}(X) D X^{\mu} \bar{D} X^{\nu} + \frac{1}{4} \Psi(X) R) \underset{\text{supercurvatura}}{\nearrow}$$

Invr. superconforme desta ação

$$\Rightarrow R_{\mu\nu} = T_{\mu\nu} + \dots, \nabla^{\mu} H_{\mu\nu\rho} + \dots = 0, \nabla^{\mu} \nabla_{\mu} \Psi + \dots = 0$$

C. Espectro de supercorda

1. Supercorda aberta:

$$\left. \begin{array}{l} \sigma = \pi \\ \sigma = 0 \end{array} \right\} \quad \partial_\sigma X^M = 0 \quad \text{quando } \sigma = 0 \text{ ou } \pi$$

$$\Psi^M = \bar{\Psi}^M \quad \text{quando } \sigma = 0$$

$$\Psi^M = + \bar{\Psi}^M \quad \text{quando } \sigma = \pi \quad \text{"Ramond"}$$

2 escolhas:

$$\Psi^M = - \bar{\Psi}^M \quad \text{quando } \sigma = \pi \quad \text{"Neveu-Schwarz"}$$

Ramond: $\Psi^M = \sum_{n=1}^{\infty} (e^{in(z+\sigma)} d_n^M + e^{-in(z+\sigma)} \bar{d}_{-n}^M) + d_0^M$

$$\bar{\Psi}^M = \sum_{n=1}^{\infty} (e^{in(z-\sigma)} d_n^M + e^{-in(z-\sigma)} \bar{d}_{-n}^M) + \bar{d}_0^M$$

$$\{d_0^M, d_0^N\} = \gamma^{MN} \Rightarrow d_0^M \text{ atua como matriz } \gamma^M$$

→ Partículas são spinores (férniions)

$ 0\rangle^\alpha$	$M^2 = 0$	"gluino"	✓
$a_i^M 0\rangle^\alpha$	$M^2 = 4T$	spin $3/2$ massivo	✓
;			

Neveu-Schwarz: $\Psi^M = \sum_{n=1/2}^{\infty} (e^{in(z+\sigma)} b_n^M + e^{-in(z+\sigma)} \bar{b}_{-n}^M)$

$ 0\rangle$	$M^2 = 2T$	"utáquion"	✗
-------------	------------	------------	---

$b_{1/2}^M 0\rangle$	$M^2 = 0$	"gluon"	✓
$a_i^M 0\rangle$	$M^2 \neq 0$	massivo	✗

Projeção GSO mata estados NS com

número par de b 's e estados R com
número ímpar de d 's

⇒ espectro supersimétrico em espaço-tempo

Aula 5: Propriedades da Supercorda

O espectro de estados não-massivos correspondem a supergravidade IIA ou IIB

$$\text{IIA: } S^{(10)} = \int d^{10}x \sqrt{g} \left[e^{2\phi} (R + H_{\mu\nu\rho} H^{\mu\nu\rho} + (\nabla\phi)^2) + \underbrace{F_{\mu\nu} F^{\mu\nu} + F_{\mu\nu\rho} F^{\mu\nu\rho}}_{R-R} \right] + \text{fermions}$$

$$A_\alpha^\beta \rightarrow A_\alpha^\mu (\delta_{\mu\nu})^\beta + A^{\mu\nu\rho} (\delta_{\mu\nu\rho})^\beta$$

$$\text{IIB: } S^{(10)} = \int d^{10}x \sqrt{g} \left[e^{2\phi} (R + H^2 + (\nabla\phi)^2) + (\nabla A)^2 + F_{\mu\nu\rho} F^{\mu\nu\rho} \right] + \text{fermions}$$

$$A^{\alpha\beta} \rightarrow A^{\alpha\beta} + A^{\mu\nu} \gamma_{\mu\nu}^{\alpha\beta} + A^{\mu\nu\rho} \gamma_{\mu\nu\rho}^{\alpha\beta} \quad \left. \begin{array}{l} \text{+ 5-forma} \\ \text{auto-dual} \end{array} \right\} + \text{fermions}$$

$$F_{\mu\nu\rho\delta} = \epsilon^{\mu\nu\rho\delta} k_0 e^{q_0} F_{k_0 q_0} \quad \begin{array}{l} \text{auto-dual} \\ \text{auto-dual} \end{array}$$

As duas supercordas são relacionadas depois de compactificar num círculo.

A. Compactificação e Dualidade T

Compactificando num círculo, o graviton \rightarrow graviton "Kaluza
vetor" "Klein"
scalar

$$g_{\mu\nu} \rightarrow \begin{cases} g_{mn} & \text{graviton} \\ g_{mi} & \text{vetores} \quad i=1 \dots \# \text{círculos compactificados} \\ g_{ij} & \text{escalares} \end{cases}$$

$$\text{Partícula } i \leq e^{ik^i x_i} = e^{ik^i(x_i + 2\pi r_i)}$$

$$\Rightarrow k^i = \frac{N}{r_i} \Rightarrow \text{espectro} = k^m k_m + \frac{N^2}{(r_i)^2}$$

Quando $r_i \ll 1$, e energia é baixa, $k^i = N = 0$

\Rightarrow Não vai ver as dimensões compactificadas

Para a corda fechada: $X^i(s) = X^i(s+2\pi) + 2\pi m r_i \hat{e}^i$
 (a corda faz m voltas sobre o círculo)

$$\Rightarrow X^i = x_0^i + \frac{p^i}{T} s + q^i s + \sum a_n^i e^{in(s)} + \tilde{a}_n^i e^{in(s-\pi)}$$

onde $p^i = \frac{N}{r_i}$, $q^i = m r_i$

$$\begin{aligned}\Rightarrow \text{Espectro} &= P^m P_m + p^i p^i + T^2 q^i q^i \\ &= P^m P_m + \frac{N^2}{r_i^2} + T^2 m^2 r_i^2\end{aligned}$$

\Rightarrow Espectro não muda se troca $r_i \leftrightarrow \frac{1}{r_i T}$ (e $m \leftrightarrow N$)
 "dualidade T" de cordas.

Sugere que não tem singularidades no espaço-tempo
 porque tem raio "mínimo" de \sqrt{T} .

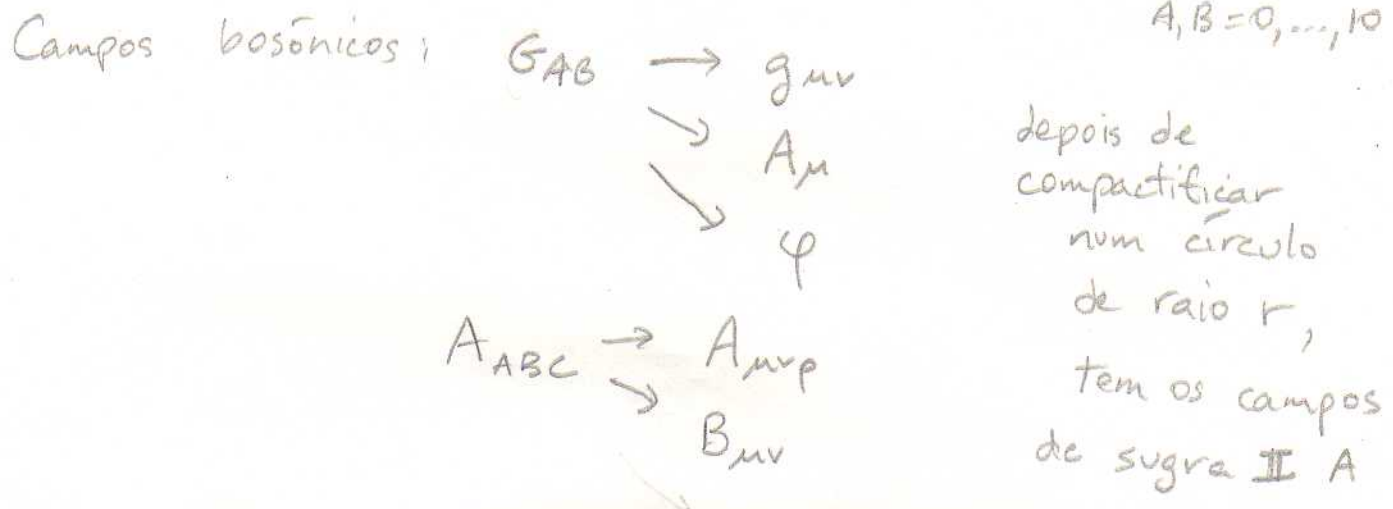
Para a supercorda, compactificação num número ímpar de círculos troca IIA e IIB (muda a paridade da supercorda), i.e. IIA num círculo de raio r
 = IIB num círculo de raio \sqrt{T} .

Existem também outro tipo de supercordas chamadas "heteróticas" que é uma mistura da corda bosônica com a supercorda. Tem uma conjectura que todas estas supercordas em $d=10$ vêm de uma teoria em $d=11$ chamada "teoria-M".

B. Teoria M

A dimensão máxima para supersimetizar gravidade (sem ter 2 grávitons) é $d=11$

Supergrav. $D=11$: $S = \int d^11x \sqrt{G} (R + F_{ABCD} F^{ABCD}) + \text{férnions}$



$G_{10,10} \rightarrow \varphi \Rightarrow$ o raio r (que é medido por $G_{10,10}$) está relacionado com λ (constante de acoplamento da supercorda)

Conjetura: Teoria-M compactificada $\underset{\text{num círculo de raio } r}{=} \text{Supercorda IIA}$ com $\lambda = r^{2/3}$.

Existem várias evidências para esta conjectura.

Conjectura implica que Supercorda IIB $=$ supercorda IIB
com $\lambda = c$ com $\lambda = \frac{1}{c}$

"dualidade forte-fraco"

Prova: Compactifica teoria M em dois círculos com raios r_1, r_2 .

Teoria M

$$\begin{array}{l} \downarrow r_1 \\ \text{IIA}, \lambda = r_1^{2/3} \\ \downarrow r_2 \end{array}$$

$$\text{IIB}, \lambda = r_1^{2/3}, \text{ comp. num } \frac{1}{r_2 T}$$

Teoria M

$$\begin{array}{l} \downarrow r_2 \\ \text{IIA}, \lambda = r_2^{2/3} \\ \downarrow r_1 \end{array}$$

$$\text{IIB}, \lambda = r_2^{2/3}, \text{ comp. num } \frac{1}{r_1 T}$$

Agora deixa r_1 e $r_2 \rightarrow 0$ com $r_1/r_2 = c$ fixo
 \Rightarrow IIB, $\lambda = c^{2/3}$ sem comp. = IIB, $\lambda = c^{-2/3}$ sem comp.

C. Dualidade - S

Conj. de Montonen-Olive para $D=4$ $N=4$ super-Yang-Mills:

$$\mathcal{S} = \frac{1}{g^2} \int d^4x \left(F_{\mu\nu}^I F^{\mu\nu I} + \chi^I (\not{D}\chi)^I \right) + \theta \int d^4x \underbrace{F_{\mu\nu\rho}^I F^{\mu\nu\rho I}}_{\text{Termo de superfície}}$$

Física inv. sobre $\tau = \Theta + \frac{i}{g^2} \leftrightarrow -\frac{1}{\tau}$ ($\theta=0 \Rightarrow g \leftrightarrow \frac{1}{g}$)
 Gluons \leftrightarrow monopólos

Monopólos são configurações solitônicas que
 são soluções não-triviais das eq. de mov. clássicas.
 Por causa de supersimetria, também são soluções
 das eq. de mov. quânticas.

Para a supercorda; estas soluções são representadas
 por "D-branas". Os extremos das cordas abertas
 podem terminar nestas D-branas, i.e.

$$X^\mu(\tau, \sigma) = C^\mu(\tau), \text{ quando } \sigma=0, \pi \text{ onde } C^\mu(\tau) \in \text{D-brana.}$$

Maldacena: A física de supercorda IIB na presença
 de N D_3 -branas (supercorda comp. em $AdS_5 \times S^5$) com
 $=$ super-YM com grupo $SU(N)$ $F_{\mu\nu\rho\sigma} = N$

Relaciona as duas conjecturas